

# Proposta de Cálculo de Parâmetros de Perfuração de Poços de Petróleo a partir de Coordenadas Espaciais com o Método da Bissecção<sup>\*</sup>

Tiago C. A. Amorim<sup>2</sup>

<sup>a</sup>*Petrobras, Av. Henrique Valadares, 28, Rio de Janeiro, 20231-030, RJ, Brasil*

---

## Abstract

O Método de Mínima Curvatura é reconhecido como o mais aceito no cálculo de trajetória de poços de petróleo. A formulação para cálculo de coordenadas cartesianas a partir de parâmetros de perfuração é direta, e o cálculo inverso não tem formulação direta.

Neste trabalho é proposto um algoritmo para calcular parâmetros de perfuração a partir de coordenadas cartesianas. O algoritmo proposto tem a forma  $g(x) = x$ , e encontrar uma solução passa por um problema de encontrar a raiz de uma função.

Foi aplicado o Método da Bissecção para resolver o problema proposto. O testes realizados mostraram boa coerência entre os valores estimados com o processo iterativo e as respectivas respostas exatas.

*Keywords:* Método da Mínima Curvatura, Método da Bissecção

---

## 1. Introdução

O desenvolvimento de técnicas para construção de poços direcionais na indústria do petróleo iniciou nos anos 1920 [1]. A construção de poços direcionais pode ter diferentes objetivos, desde acessar acumulações que seriam difíceis de serem alcançadas com poços verticais (áreas montanhosas, acumulações abaixo de leitos de rios etc.), para aumento da produtividade (maior exposição da formação portadora de hidrocarbonetos) ou até para interceptar outros poços (poços de alívio em situações de *blowout*<sup>1</sup>).

O Método da Mínima Curvatura é largamente aceito como o método padrão para o cálculo de trajetória de poços [2]. Neste método a geometria do poço é descrita como uma série de arcos circulares e linhas retas. A transformação de parâmetros de perfuração ( $\Delta S, \theta$ ,

---

<sup>\*</sup>Relatório integrante dos requisitos da disciplina IM253: Métodos Numéricos para Fenômenos de Transporte.

<sup>\*\*</sup>Atualmente cursando doutorado no Departamento de Engenharia de Petróleo da Faculdade de Engenharia Mecânica da UNICAMP (Campinas/SP, Brasil).

*Email address:* [t100675@dac.unicamp.br](mailto:t100675@dac.unicamp.br) (Tiago C. A. Amorim)

<sup>1</sup>Um *blowout* é um evento indesejado, de produção descontrolada de um poço.

$\phi$ ) em coordenadas cartesianas ( $\Delta N$ ,  $\Delta E$ ,  $\Delta V$ ) tem formulação explícita. A operação inversa, de coordenadas cartesianas em parâmetros de perfuração não tem formulação explícita.

No planejamento de novos poços de petróleo as coordenadas espaciais são conhecidas, e é necessário calcular os futuros parâmetros de perfuração. Os parâmetros de perfuração são utilizados para diferentes análises, como o de máximo DLS (*dogleg severity*), que é uma medida da curvatura de um poço entre dois pontos de medida, usualmente expressa em graus por metro.

Este relatório apresenta uma proposta de metodologia para cálculo dos parâmetros de perfuração a partir das coordenadas cartesianas de pontos ao longo da geometria do poço. A formulação foi derivada das fórmulas utilizadas no Método da Mínima Curvatura, e é implícita. Para resolver o problema foi aplicado o Método da Bissecção.

## 2. Metodologia

### 2.1. Método da Mínima Curvatura

Ao longo da perfuração de um poço de petróleo são realizadas medições do comprimento perfurado (comumente chamado de comprimento medido), inclinação (ângulo com relação à direção vertical) e azimuth (ângulo entre a direção horizontal e o norte). A partir das coordenadas geográficas do ponto inicial do poço e deste conjunto de medições ao longo da trajetória, é possível calcular as coordenadas cartesianas (N, E, V) de qualquer posição do poço. A figura 1 apresenta um esquema dos parâmetros de perfuração de um poço direcional:

- $\Delta S$ : comprimento medido entre dois pontos ao longo da trajetória.
- $\theta$ : inclinação do poço no ponto atual.
- $\phi$ : azimuth do poço no ponto atual.
- $\alpha$ : curvatura entre dois pontos ao longo da trajetória.

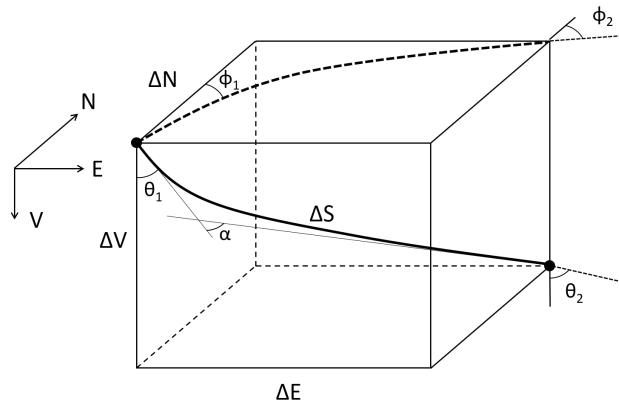


Figura 1: Parâmetros de perfuração entre dois pontos ao longo de um poço direcional.

As fórmulas que associam os parâmetros de perfuração e as coordenadas cartesianas de dois pontos ao longo de um poço direcional segundo o Método da Mínima Curvatura são [2]:

$$\Delta N = \frac{\Delta S}{2} f(\alpha) (\sin \theta_1 \cos \phi_1 + \sin \theta_2 \cos \phi_2) \quad (1)$$

$$\Delta E = \frac{\Delta S}{2} f(\alpha) (\sin \theta_1 \sin \phi_1 + \sin \theta_2 \sin \phi_2) \quad (2)$$

$$\Delta V = \frac{\Delta S}{2} f(\alpha) (\cos \theta_1 + \cos \theta_2) \quad (3)$$

$$\alpha = 2 \arcsin \sqrt{\sin^2 \frac{\theta_2 - \theta_1}{2} + \sin \theta_1 \sin \theta_2 \sin^2 \frac{\phi_2 - \phi_1}{2}} \quad (4)$$

$$f(\alpha) = \begin{cases} 1 + \frac{\alpha^2}{12} \{1 + \frac{\alpha^2}{10} [1 + \frac{\alpha^2}{168} (1 + \frac{31\alpha^2}{18})]\}, & \text{se } \alpha < 0,02 \\ \frac{2}{\alpha} \tan \frac{\alpha}{2}, & \text{c.c.} \end{cases} \quad (5)$$

A proposta de método para calcular os parâmetros de perfuração a partir das coordenadas cartesianas parte de manipulações das equações 1, 2 e 3. É assumido que para calcular os parâmetros de perfuração entre dois pontos quaisquer são conhecidos os parâmetros de perfuração do ponto inicial<sup>2</sup> ( $\theta_1$ ,  $\phi_1$ ) e as distâncias cartesianas entre os pontos ( $\Delta N, \Delta E, \Delta V$ ). O objetivo é calcular  $\theta_1$ ,  $\phi_1$  e  $\Delta S$ .

É possível inverter a equação 3 para obter uma expressão para  $\theta_2$ :

$$\cos \theta_2 = 2 \frac{\Delta V}{\Delta S f(\alpha)} - \cos \theta_1 \quad (6)$$

Dividindo a equação 1 pela equação 2 obtém-se duas expressões para  $\phi_2$ :

$$\sin \phi_2 = \frac{-\Delta N \Delta \Psi}{\Delta H^2} \left( \frac{\sin \theta_1}{\sin \theta_2} \right) + \Delta E \sqrt{\frac{1}{\Delta H^2} - \Delta \Psi^2 \left( \frac{\sin \theta_1}{\sin \theta_2} \right)^2} \quad (7)$$

$$\cos \phi_2 = \frac{\Delta E \Delta \Psi}{\Delta H^2} \left( \frac{\sin \theta_1}{\sin \theta_2} \right) + \Delta N \sqrt{\frac{1}{\Delta H^2} - \Delta \Psi^2 \left( \frac{\sin \theta_1}{\sin \theta_2} \right)^2} \quad (8)$$

onde

$$\begin{aligned} \Delta \Psi &= \Delta N \sin \phi_1 - \Delta E \cos \phi_1 \\ \Delta H^2 &= \Delta N^2 + \Delta E^2 \end{aligned}$$

---

<sup>2</sup>Para o primeiro ponto da trajetória é assumido um poço na vertical:  $\theta = 0$ ,  $\phi = 0$ .

Fazendo a soma dos quadrados das equações 1, 2 e 3 é possível obter uma expressão para  $\Delta Sf(\alpha)$ :

$$\Delta Sf(\alpha) = 2\sqrt{\frac{\Delta N^2 + \Delta E^2 + \Delta V^2}{A^2 + B^2 + C^2}} \quad (9)$$

onde

$$\begin{aligned} A &= \sin \theta_1 \cos \phi_1 + \sin \theta_2 \cos \phi_2 \\ B &= \sin \theta_1 \sin \phi_1 + \sin \theta_2 \sin \phi_2 \\ C &= \cos \theta_1 + \cos \theta_2 \end{aligned}$$

Com as equações propostas é possível construir uma função do tipo  $g(x) = x$ :

1. Assumir um valor inicial de  $\Delta Sf(\alpha)$ .
2. Calcular  $\cos \theta_2$  com a equação 6.
3. Calcular  $\sin \phi_2$  com a equação 7.
4. Calcular  $\cos \phi_2$  com a equação 8.
5. Calcular  $\Delta Sf(\alpha)$  com a equação 9.

Ao utilizar  $\Delta Sf(\alpha)$  como parâmetro principal, evita-se calcular  $\alpha$  e  $f(\alpha)$  durante o processo. O valor de  $\phi_2$  só precisa ser calculado ao final, evitando usar arccos ou arcsin muitas vezes. Alguns cuidados adicionais precisam ser tomados ao utilizar este algoritmo:

- O valor mínimo de  $\Delta Sf(\alpha)$  é uma linha reta entre os pontos:

$$\Delta Sf(\alpha) \geq \sqrt{\Delta N^2 + \Delta E^2 + \Delta V^2}$$

- $\Delta Sf(\alpha)$  tem um segundo limite inferior a ser atendido, definido pelos valores limite da equação 6 quando  $\Delta V \neq 0$ :

$$\Delta Sf(\alpha) \geq \begin{cases} \Delta V \frac{2}{\cos \theta_1 + 1}, & \text{se } \Delta V > 0 \\ \Delta V \frac{2}{\cos \theta_1 - 1}, & \text{se } \Delta V < 0 \end{cases}$$

- Se  $\theta_2 = 0$ , então  $\phi_2$  fica indefinido. Neste caso a recomendação é fazer  $\phi_2 = \phi_1$ .
- Se  $\Delta N = \Delta E = 0$  então  $|\phi_1 - \phi_2| = \pi$ .

## 2.2. Método da Bissecção

Uma equação do tipo  $g(x) = x$  pode ser resolvida buscando a raiz de  $f(x) = x - g(x)$ . Nesta primeira tentativa foi implementado o Método da Bissecção para buscar o resultado do problema proposto. O algoritmo foi baseado no pseudo-código descrito em [3]. O Método da Bissecção baseia-se no teorema do valor médio. O intervalo de busca pela raiz é sucessivamente dividido em dois. O método tem garantia de que a raiz pertence ao intervalo ao manter os valores da função avaliada nos limites do intervalo com sinais opostos<sup>3</sup>.

De modo simplificado o Método da Bissecção pode ser descrito como:

1. Definir  $x_a$  e  $x_b$  de modo que  $\text{senal}(f(x_a)) \neq \text{senal}(f(x_b))$ .
2. Calcular  $f(x_a)$  e  $f(x_b)$ .
3. Calcular  $x_{\text{medio}} = x_a + \frac{x_b - x_a}{2}$  e  $f(x_{\text{medio}})$ .
4. Se  $\text{senal}(f(x_{\text{medio}})) = \text{senal}(f(x_a))$  então  $x_a = x_{\text{medio}}$ .
5. Se  $\text{senal}(f(x_{\text{medio}})) = \text{senal}(f(x_b))$  então  $x_b = x_{\text{medio}}$ .
6. Se não atingiu critério de convergência, retornar para passo 2.
7. Retornar  $x_{\text{medio}}$ .

Foram adicionados critérios adicionais ao algoritmo para controlar o processo iterativo:

- Foram implementados dois métodos de cálculo do critério de convergência:
  - Critério *Direto*:  $|x_i - x_{i-1}|$ .
  - Critério *Relativo*<sup>4</sup>:  $\frac{|x_i - x_{i-1}|}{|x_i|}$ .
- No início do código é verificado se  $|x_b - x_a| < \zeta$ , onde  $\zeta$  é calculado em função do critério de convergência estabelecido<sup>5</sup>. Se for *verdadeiro*, não é feito o *loop* do método.
- Se  $\text{senal}(f(x_a)) = \text{senal}(f(x_b))$  o código apresenta uma mensagem de alerta e não é feito o *loop* do método. Optou-se por não gerar um erro, e mesmo neste caso é retornado um valor.
- É feito um término prematuro do processo iterativo caso algum  $|f(x)| < \epsilon$ . O valor padrão de  $\epsilon$  é  $10^{-7}$  (variável **epsilon** no código). Este teste também é feito antes de entrar no *loop*.
- Antes de sair da função, são comparados os três últimos resultados guardados ( $f(x_a)$ ,  $f(x_b)$ ,  $f(x_{\text{medio}})$ ) e é retornado o valor de  $x$  com  $f(x)$  mais próximo de zero.

---

<sup>3</sup>Assumindo que o intervalo inicial fornecido também tem esta propriedade.

<sup>4</sup>Caso  $|x_i| < \epsilon$ , é utilizado  $|x_{i-1}|$  no denominador. E se também  $|x_{i-1}| < \epsilon$  o valor da convergência é considerado *zero*!

<sup>5</sup>Definindo  $c_{\text{lim}}$  o limite de convergência, se for utilizado o critério de convergência *direto* então  $\zeta = c_{\text{lim}}$ . Se for utilizado o critério de convergência relativo então  $\zeta = c_{\text{lim}} \min |x_a|, |x_b|$  (a avaliação do menor valor segue as mesmas regras do cálculo do critério de convergência, ignorando qualquer  $|x| < \epsilon$  e retorna *zero* caso ambos sejam valores pequenos).

### 3. Resultados

Para facilitar a análise da qualidade do código desenvolvido, foram criadas funções que realizam diversos testes onde a resposta exata é conhecida:

**tests\_\_bisection()** Testa o Método da Bissecção em diferentes funções: linear, quadrática, exponencial e com sen/cos. Também foram apicados casos específicos para o algoritmo tratar: raiz em um dos limites, uso de critério de convergência relativo, saída do *loop* sem atingir o critério de convergência, má definição do intervalo inicial ( $sign(f(x_a)) = sign(f(x_b))$ ) e intervalo inicial muito pequeno ( $|x_b - x_a| < \zeta$ ).

**tests\_\_minimum\_\_curvature()** Testa as funções implementadas para cálculo de coordenadas cartesianas em função de parâmetros de perfuração (cálculo direto), e de parâmetros de perfuração em função de coordenadas cartesianas (cálculo iterativo).

Algumas definições que foram feitas no código que implementa o Método da Bissecção são resultado dos testes realizados.

A definição de um critério de parada prematura se mostrou importante para evitar que o método continue buscando uma raiz quando já encontrou uma solução *aceitável*. A definição deste limite  $|f(x)| < \epsilon = 10^{-7}$  foi empírica e deve ser revista em função do problema a ser resolvido.

Todas as funções foram definidas para trabalhar com números do tipo **double**. Inicialmente as funções estavam definidas para trabalhar com **float**, mas estes mostraram não conseguirem trabalhar com valores de convergência muito baixos. A avaliação da função  $f(x) = -3x + 0.9$  na sua raiz foi testada usando diferentes tipos de números de ponto flutuante:

- **float**:  $f(0.3) \approx -3.57628 \cdot 10^{-8}$
- **double**:  $f(0.3) \approx 1.11022 \cdot 10^{-16}$
- **long double**:  $f(0.3) \approx 5.35872 \cdot 10^{-312}$

Mesmo que o **long double** consiga o melhor resultado, considerou-se que trabalhar com **double** já é *suficiente*. Foi feita uma sensibilidade do critério de convergência ( $c_{lim}$ ) e foi possível trabalhar com limites de valores baixos sem aparente perda da qualidade da resposta por problemas com aritmética de máquina (Apêndice A.2).

É sempre feita uma verificação ao final do código para avaliar qual é o valor entre  $x_a$ ,  $x_b$  e  $x_{medio}$  que minimiza  $|f(x)|$ . O método da bissecção tem garantia de convergência, mas não é garantido que o melhor resultado será o  $x_{medio}$  da última iteração. Um exemplo prático deste efeito é visto na Tabela 1, onde o melhor resultado é alcançado na 8ª iteração, mas o critério de convergência<sup>6</sup> só é alcançado na 11ª iteração.

---

<sup>6</sup>A coluna com os valores da convergência foi omitida por falta de espaço na página

Int.	$x_a$	$f(x_a)$	$x_b$	$f(x_b)$	$x_{medio}$	$f(x_{medio})$
1	-0.25	-0.1875	1	8.25	0.375	2.07812
2	-0.25	-0.1875	0.375	2.07812	0.0625	0.457031
3	-0.25	-0.1875	0.0625	0.457031	-0.09375	0.0126953
4	-0.25	-0.1875	-0.09375	0.0126953	-0.171875	-0.11792
5	-0.171875	-0.11792	-0.09375	0.0126953	-0.132812	-0.0602417
6	-0.132812	-0.0602417	-0.09375	0.0126953	-0.113281	-0.0256805
7	-0.113281	-0.0256805	-0.09375	0.0126953	-0.103516	-0.00696945
8	-0.103516	-0.00696945	-0.09375	0.0126953	-0.0986328	0.00274372
9	-0.103516	-0.00696945	-0.0986328	0.00274372	-0.101074	-0.00214267
10	-0.101074	-0.00214267	-0.0986328	0.00274372	-0.0998535	0.000293076
11	-0.101074	-0.00214267	-0.0998535	0.000293076	-0.100464	-0.000926659

Tabela 1: Busca pela raiz de  $5x^2 + 3x - 0.25$  no intervalo  $[-0.25; 1]$  pelo Método da Bissecção.

A metodologia proposta para o cálculo de parâmetros de perfuração com o Método da Mínima Curvatura tem algumas particularidades, como a sua indefinição quando é testado com um valor muito baixo de  $\Delta Sf(\alpha)$ . A definição do intervalo de busca é direta, mas, devido a erros de aritmética de máquina, não é possível garantir que  $\text{senal}(f(x_a)) \neq \text{senal}(f(x_b))$  quando a resposta está muito próxima de um dos limites. Desta forma, ao invés de gerar uma mensagem de erro quando  $\text{senal}(f(x_a)) = \text{senal}(f(x_b))$ , é gerada uma mensagem e o código retorna o valor de  $x$  (igual a  $x_a$  ou  $x_b$ ) que minimizar  $|f(x)|$ .

Este problema ficou evidente no cálculo do 4º trecho do poço em 'S' descrito nos testes de `tests_minimum_curvature()` (Apêndice B). O valor exato de  $\theta_2$  é zero (o 5º trecho é reto e vertical). Neste caso, o valor mínimo de  $\Delta Sf(\alpha)$  é limitado pela equação 6, e é igual à resposta exata. Neste ponto o algoritmo calcula  $f(263.305) \approx -2.58273 \cdot 10^{-7}$ , que não atinge o critério de parada prematura, mas tem o mesmo sinal de  $f(\Delta Sf(\alpha)_{max})$ .

Foi implementada uma função para estimar o número de iterações necessárias para alcançar o critério de convergência definido (equação 10). Quando o critério de convergência ( $c_{lim}$ ) é *direto*, a estimativa se mostrou exata (exceto nos casos em que há parada prematura), o que indica que o algoritmo implantado converge com a taxa que era esperada (Apêndice A.1). Buscou-se realizar a mesma estimativa para o caso de uso do critério de convergência *relativo*, e neste caso as estimativas não exatas, mas tem boa previsão (ver Tabela 3).

$$n_{int} = \left\lceil \frac{\log \frac{|x_b - x_a|}{|x_{referencia}|} \frac{1}{c_{lim}}}{\log 2} \right\rceil \quad (10)$$

onde

$$x_{referencia} = \begin{cases} 1, & \text{se Critério de convergência direto} \\ \min(|x_a|, |x_b|), & \text{c.c.} \end{cases}$$

Tabela 2: Comparação entre o número de iterações previsto e realizado para diferentes testes.

Função	$x_a$	$x_b$	Critério <i>Direto</i>		Critério <i>Relativo</i>	
			Previsão	Realizado	Previsão	Realizado
Linear	0.	2.	11	11	11	13
Quadrática	-0.25	1.	11	11	11	14
Exponencial	0.	10.	14	14	14	13
Trigonométrica	0.	5.	13	13	13	12
1/4 círculo horizontal	14.1421	120.417	17	17	13	13
Seção 2 do poço em S	130.526	1111.4	20	20	13	13
Poço 3D	9.84918	83.8634	17	17	13	13

#### 4. Conclusão

O algoritmo proposto para o cálculo de parâmetros de perfuração em função das coordenadas cartesianas de pontos ao longo do se mostrou eficaz. Foram feitos ajustes ao código implementado de forma a evitar o uso de funções trigonométricas ao longo do processo iterativo. O Método da Bissecção se mostrou adequado para uso com o algoritmo proposto. As funções propostas não são válidas para quaisquer valores de entrada, e a delimitação de uma região de busca foi importante para garantir a convergência do problema.

#### Referências

- [1] I. A. of Drilling Contractors (IADC), IADC Drilling Manual, International Association of Drilling Contractors (IADC), 2015, prévia do livro em <https://iadc.org/wp-content/uploads/2015/08/preview-dd.pdf> (accessado em 28/08/2023).
- [2] A Compendium of Directional Calculations Based on the Minimum Curvature Method, Vol. All Days of SPE Annual Technical Conference and Exhibition. arXiv:<https://onepetro.org/SPEATCE/proceedings-pdf/03ATCE/All-03ATCE/SPE-84246-MS/2895686/spe-84246-ms.pdf>, doi:10.2118/84246-MS. URL <https://doi.org/10.2118/84246-MS>
- [3] R. L. Burden, J. D. Faires, A. M. Burden, Análise numérica, Cengage Learning, 2016.



## Apêndice A. Gráficos Diagnóstico

### Apêndice A.1. Erro ao Longo da Iterações

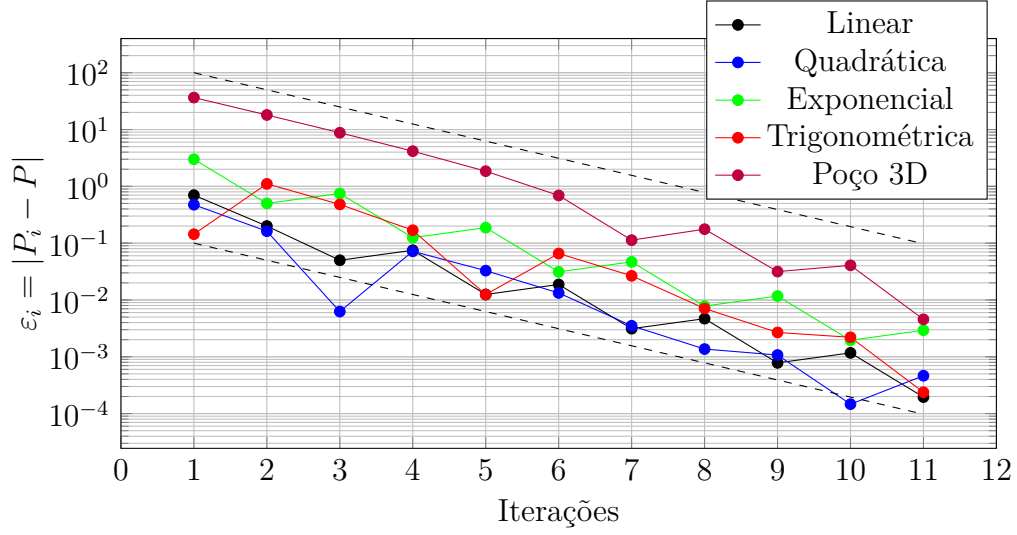


Figura A.2: Evolução do erro do Método da Bissecção com diferentes funções (linhas tracejadas representam  $\varepsilon_{i+1}/\varepsilon_i = 0.5$ ).

### Apêndice A.2. Erro em Função do Limite de Convergência

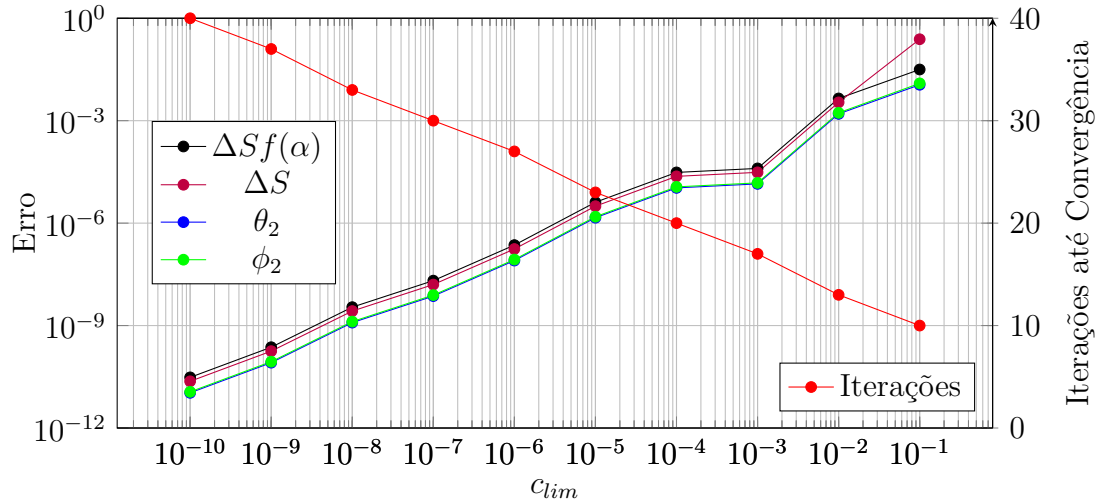


Figura A.3: Erro das variáveis de interesse em função do limite de convergência utilizado.

## Apêndice B. Esquema do Poço em S

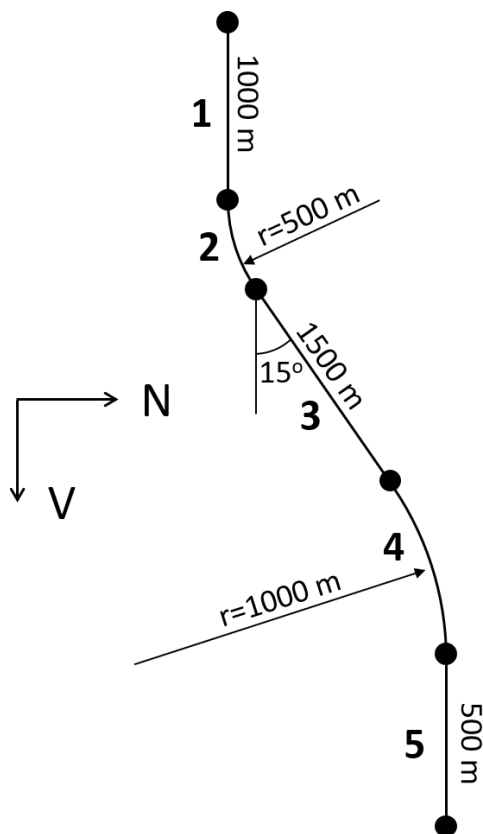


Figura B.4: Esquema do poço em 'S' descrito nos testes de `tests_minimum_curvature()`.

## Apêndice C. Código em C

### Apêndice C.1. Método da Bissecção

```
1  /*
2      Implementation of the bisection method to find root of 1D functions
3  */
4
5  #include <stdio.h>
6  #include <stdbool.h>
7  #include <math.h>
8  #include <assert.h>
9
10 const double epsilon = 1E-17;
11 const double pi = 3.14159265358979323846;
12
13 const int default_iterations = 100;
14 const double default_convergence = 1E-4;
15
16 const bool stop_on_error = true;
17
18 bool check_error(bool ok_condition, char *error_message){
19     if( !ok_condition){
20         printf(error_message);
21         if( stop_on_error){
22             assert(false);
23         }
24     }
25     return ok_condition;
26 }
27
28 double min(double a, double b){
29     return a<b? a: b;
30 }
31
32 double max(double a, double b){
33     return a>b? a: b;
34 }
35
36 bool is_root(double fx, double x, int i, bool debug){
37     if( fabs(fx) < epsilon){
38         if( debug){
39             printf("Early exit after %i iterations: f(%g) = %g.\n", i, x, fx)
40         }
41         return true;
42     }
43     return false;
44 }
45
46 double calculate_convergence(double x_current, double x_previous, bool
    relative_convergence){
```

```

47     double reference = 1;
48     if( relative_convergence)
49         if( fabs(x_current) > epsilon){
50             reference = x_current;
51         } else if( fabs(x_previous) > epsilon) {
52             reference = x_previous;
53         } else{
54             return 0.;
55         }
56     return fabs( (x_current - x_previous) / reference );
57 }
58
59 void print_error(char *message, double true_value, double calculated_value,
60 double error_limit, bool relative_convergence){
61     double relative_error;
62     relative_error = calculate_convergence(true_value, calculated_value,
63     relative_convergence);
64     printf("%s: True=%g Calculated=%g Error=%g", message, true_value,
65     calculated_value, relative_error);
66     if( relative_error > error_limit){
67         printf("    <= ##### Attention #####");
68     }
69     printf("\n");
70 }
71
72 double return_closest_to_root(double x_a, double fx_a, double x_b, double
73     fx_b){
74     if( fabs(fx_b) < fabs(fx_a)){
75         return x_b;
76     } else{
77         return x_a;
78     }
79 }
80
81 double return_closest_to_root_3pt(double x_a, double fx_a, double x_b, double
82     fx_b, double x_c, double fx_c){
83     fx_a = fabs(fx_a);
84     fx_b = fabs(fx_b);
85     fx_c = fabs(fx_c);
86     if( min(fx_a, fx_b) < fx_c){
87         if( fx_b < fx_a){
88             return x_b;
89         } else{
90             return x_a;
91         }
92     } else{
93         return x_c;
94     }
95 }
96
97 double find_root_bissection_debug(double (*func)(double), double x_a, double

```

```

x_b, double convergence_tol, bool relative_convergence, int max_iterations
, bool debug, double x_root) {
93     double fx_a, fx_b, fx_mean;
94     double x_mean, x_mean_previous;
95     double convergence;
96     double exit_function = false;
97     bool print_true_error;
98     int i=0;
99
100     if( x_b < x_a){
101         x_mean = x_a;
102         x_a = x_b;
103         x_b = x_mean;
104     }
105
106     fx_a = func(x_a);
107     fx_b = func(x_b);
108     x_mean = 1e20;
109     fx_mean = 1e20;
110
111     convergence = calculate_convergence(min(x_a, x_b), max(x_a, x_b),
relative_convergence);
112     exit_function = is_root(fx_a, x_a, 0, debug) || is_root(fx_b, x_b, 0,
debug);
113
114     if( !exit_function){
115         if( convergence < convergence_tol ){
116             if( debug){
117                 printf("Initial limits are closer than convergence criteria:
118                 |%g - %g| = %g.\n",x_b,x_a,fabs(x_a - x_b));
119             }
120             exit_function = true;
121         }
122     }
123
124     if( !exit_function){
125         if( signbit(fx_a) == signbit(fx_b) ){
126             printf("Function has same sign in limits: f(%g) = %g f(%g) = %g.\n",x_a,fx_a,x_b,fx_b);
127             printf("Returning result closest to zero amongst f(x_a) and f(x_b)
128             ).\n");
129             if( debug){
130                 double x_trial;
131                 printf("Sample of function results in the provided domain:\n"
132                 );
133                 for(int i=0; i<=20; i++){
134                     x_trial = x_a + (x_b - x_a)*i/20;
135                     printf("    f(%g) = %g\n", x_trial, func(x_trial));
136                 }
137             }
138             exit_function = true;

```

```

136     }
137 }
138
139 if( !exit_function){
140     print_true_error = (x_root >= x_a) && (x_root <= x_b);
141     x_mean_previous = x_a;
142     if( debug){
143         if( print_true_error){
144             printf("%3s    %-28s\t%-28s\t%-28s\t%-11s\t%-11s\n", "#", "
Lower bound", "Upper bound", "Mean point", "Convergence", "|x - root|");
145         } else{
146             printf("%3s    %-28s\t%-28s\t%-28s\t%-11s\n", "#", "Lower bound
", "Upper bound", "Mean point", "Convergence");
147         }
148     }
149
150     for(i=1 ; i<=max_iterations ; i++){
151         x_mean = x_a + (x_b - x_a)/2;
152         fx_mean = func(x_mean);
153         convergence = calculate_convergence(x_mean, x_mean_previous,
relative_convergence);
154         x_mean_previous = x_mean;
155
156         if( debug){
157             if( print_true_error){
158                 printf("%3i.  f(%11g) = %11g\tf(%11g) = %11g\tf(%11g) =
%11g\t%11g\t%11g\n", i, x_a, fx_a, x_b, fx_b, x_mean, fx_mean, convergence,
fabs(x_mean - x_root));
159             } else{
160                 printf("%3i.  f(%11g) = %11g\tf(%11g) = %11g\tf(%11g) =
%11g\t%11g\n", i, x_a, fx_a, x_b, fx_b, x_mean, fx_mean, convergence);
161             }
162         }
163
164         if( convergence < convergence_tol){
165             break;
166         }
167
168         if( is_root(fx_mean, x_mean, i, debug)){
169             exit_function = true;
170             break;
171         }
172
173         if( signbit(fx_a) == signbit(fx_mean)){
174             x_a = x_mean;
175             fx_a = fx_mean;
176         } else{
177             x_b = x_mean;
178             fx_b = fx_mean;
179         }
180     }

```

```

181     }
182     if( debug){
183         if( exit_function || convergence < convergence_tol){
184             printf("Reached convergence after %i iteration(s): %g.\n", i,
convergence);
185         } else {
186             printf("Convergence was not reached after %i iteration(s): %g.\n"
, i, convergence);
187         }
188     }
189     return return_closest_to_root_3pt(x_a, fx_a, x_b, fx_b, x_mean, fx_mean);
190 }
191
192 double find_root_bissection(double (*func)(double), double x_a, double x_b){
193     return find_root_bissection_debug(func, x_a, x_b, default_convergence,
true, default_iterations, false, -1e99);
194 }
195
196 int estimate_bissection_iterations(double x_a, double x_b, double x_root,
double convergence_tol, bool relative_convergence){
197     double x_reference = 1;
198     double n;
199
200     if( relative_convergence){
201         if(fabs(x_root)<epsilon || x_root < min(x_a,x_b) || x_root > max(x_a,
x_b)){
202             x_reference = min(fabs(x_a), fabs(x_b));
203             if( x_reference < epsilon)
204                 x_reference = max(fabs(x_a), fabs(x_b));
205             if( x_reference < epsilon)
206                 return 0;
207         } else{
208             x_reference = x_root;
209         }
210     }
211     n = log(fabs(x_b - x_a) / fabs(x_reference) / convergence_tol)/log(2);
212     return max(0, round(n+0.5));
213 }
214
215 void test_bissection(double (*func)(double), double x_root, double x_a,
double x_b, double convergence_tol, bool relative_convergence, int
max_iterations, bool debug, char *message){
216     printf("\nTest Bissection Method: %s\n", message);
217     int iterations = estimate_bissection_iterations(x_a, x_b, x_root,
convergence_tol, false);
218     printf("Estimated number of iterations: %i\n", iterations);
219     double x_root_bissection = find_root_bissection_debug(func, x_a, x_b,
convergence_tol, relative_convergence, max_iterations, debug, x_root);
220     print_error(" => Root", x_root, x_root_bissection, convergence_tol,
relative_convergence);
221 }

```

```

222
223 // Root at x=0.3
224 double f_linear(double x){
225     return -x*3 + 0.9;
226 }
227
228 float f_linear_float(float x){
229     return -x*3 + 0.9;
230 }
231
232 long double f_linear_long_double(long double x){
233     return -x*3 + 0.9;
234 }
235
236 // Root at x=0.3
237 double f_linear2(double x){
238     return -x*3E5 + 0.9E5;
239 }
240
241 // Roots at x=-0.5 and -0.1
242 double f_quadratic(double x){
243     return (5*x + 3)*x + 0.25; // = 5*x*x + 3*x + 0.25;
244 }
245
246 // Roots at x=-0.5 and -0.1
247 double f_quadratic2(double x){
248     return 5*x*x + 3*x + 0.25;
249 }
250
251 // Root at x= +-2
252 double f_exponential(double x){
253     return exp(x*x-4) - 1;
254 }
255
256 // Root at x= pi/2 (+ n*2pi)
257 double f_cos(double x){
258     return cos(x);
259 }
260
261 // Root at x= 3/4*pi (+ n*2pi)
262 double f_trigonometric(double x){
263     return cos(x) + sin(x);
264 }
265
266 int tests_bissection(){
267     bool relative_convergence = false;
268     int max_iterations = 50;
269     bool debug = true;
270
271     test_bissection(f_linear, 0.3, 0, 2, 0.001, relative_convergence,
max_iterations, debug, "Linear function");

```



```

272 test_bissection(f_linear, 0.3, 2, 0, 0.001, relative_convergence,
max_iterations, debug, "Linear function with inverted limits");
273 test_bissection(f_linear, 0.3, 0, 2, 0.001, true, max_iterations, debug,
"Linear function with relative convergence");
274 test_bissection(f_linear, 0.3, 0, 1, 0.001, relative_convergence, 5,
debug, "Linear function with insufficient iterations");
275 test_bissection(f_linear, 0.3, 0., 0.4, 0.001, relative_convergence,
max_iterations, debug, "Linear function with early exit");
276 test_bissection(f_linear, 0.3, 0.3, 1, 0.001, relative_convergence,
max_iterations, debug, "Linear function with root in x_a");
277 test_bissection(f_linear, 0.3, 0, 0.3, 0.001, relative_convergence,
max_iterations, debug, "Linear function with root in x_b");
278 test_bissection(f_linear, 0.3, 1, 2.3, 0.001, relative_convergence,
max_iterations, debug, "Linear function with error in [x_a,x_b] #1");
279 test_bissection(f_linear, 0.3, -2, 0., 0.001, relative_convergence,
max_iterations, debug, "Linear function with error in [x_a,x_b] #2");
280
281 test_bissection(f_linear, 0.3, 0.3-epsilon/3, 0.3+epsilon/3, 0.001,
relative_convergence, max_iterations, debug, "Linear function with domain
very close to root");
282 test_bissection(f_linear2, 0.3, 0.3-epsilon/3, 0.3+epsilon/3, 0.001,
relative_convergence, max_iterations, debug, "Linear function #2 with '
small' domain");
283
284 test_bissection(f_quadratic, -0.1, -0.25, 1, 0.001, relative_convergence
, max_iterations, debug, "Quadratic function, root#1");
285 test_bissection(f_quadratic, -0.5, -0.25, -1, 0.001, relative_convergence
, max_iterations, debug, "Quadratic function, root#2");
286 test_bissection(f_exponential, 2., 0, 10, 0.001, relative_convergence,
max_iterations, debug, "Exponential function");
287 test_bissection(f_cos, pi/2, 0, 2, 0.001, relative_convergence,
max_iterations, debug, "Cossine function");
288 test_bissection(f_trigonometric, 3./4*pi, 0, 5, 0.001,
relative_convergence, max_iterations, debug, "Trigonometric function");
289 }

```

## Apêndice C.2. Método da Mínima Curvatura

```

1 // Minimum Curvature Method
2 double angle_subtraction(double a2, double a1){
3     double dif = a2 - a1;
4     if( dif < -pi){
5         dif = dif + 2*pi;
6     } else if( dif > pi){
7         dif = dif - 2*pi;
8     }
9     return dif;
10 }
11
12 double alfa(double theta1, double phi1, double theta2, double phi2){
13     double x, y;
14     x = sin( angle_subtraction(theta2, theta1)/2 );

```

```

15     x *= x;
16     y = sin( angle_subtraction(phi2, phi1)/2 );
17     y *= y;
18     y *= sin(theta1)*sin(theta2);
19     x += y;
20     x = sqrt(x);
21     return 2* asin(x);
22 }
23
24 double f_alfa(double a){
25     if( a<0.02){
26         double x;
27         double a2 = a*a;
28         x = 1 + 32*a2/18;
29         x = 1 + a2/168*x;
30         x = 1+ a2/10*x;
31         return 1+ a2/12*x;
32     } else{
33         return 2/a * tan(a/2);
34     }
35 }
36
37 double deltaN_with_deltaSfa(double deltaSfa, double theta1, double phi1,
38     double theta2, double phi2){
39     return deltaSfa/2*(sin(theta1)*cos(phi1) + sin(theta2)*cos(phi2));
40 }
41
42 double deltaN_with_fa(double deltaS, double fa, double theta1, double phi1,
43     double theta2, double phi2){
44     return deltaN_with_deltaSfa(deltaS*fa, theta1, phi1, theta2, phi2);
45 }
46
47 double deltaN(double deltaS, double theta1, double phi1, double theta2,
48     double phi2){
49     double fa = f_alfa( alfa(theta1, phi1, theta2, phi2) );
50     return deltaN_with_fa(deltaS, fa, theta1, phi1, theta2, phi2);
51 }
52
53 double deltaE_with_deltaSfa(double deltaSfa, double theta1, double phi1,
54     double theta2, double phi2){
55     return deltaSfa/2*(sin(theta1)*sin(phi1) + sin(theta2)*sin(phi2));
56 }
57
58 double deltaE_with_fa(double deltaS, double fa, double theta1, double phi1,
59     double theta2, double phi2){
60     return deltaE_with_deltaSfa(deltaS*fa, theta1, phi1, theta2, phi2);
61 }
62
63 double deltaE(double deltaS, double theta1, double phi1, double theta2,
64     double phi2){
65     double fa = f_alfa( alfa(theta1, phi1, theta2, phi2) );

```

```

60     return deltaE_with_fa(deltaS, fa, theta1, phi1, theta2, phi2);
61 }
62
63
64 double deltaV_with_deltaSfa(double deltaSfa, double theta1, double theta2){
65     return deltaSfa/2*(cos(theta1) + cos(theta2));
66 }
67
68 double deltaV_with_fa(double deltaS, double fa, double theta1, double theta2)
69 {
70     return deltaV_with_deltaSfa(deltaS*fa, theta1, theta2);
71 }
72
73 double deltaV(double deltaS, double theta1, double phi1, double theta2,
74 double phi2){
75     double fa = f_alfa( alfa(theta1, phi1, theta2, phi2) );
76     return deltaV_with_fa(deltaS, fa, theta1, theta2);
77 }
78
79 struct tangle{
80     double cos, sin, rad;
81 };
82
83 double calculate_rad(struct tangle angle, bool debug){
84     check_error( fabs(angle.cos) <= 1., "## Failed |cos(angle)| <= 1.\n");
85     check_error( fabs(angle.sin) <= 1., "## Failed |sin(angle)| <= 1.\n");
86
87     angle.cos = min(1,max(angle.cos,-1));
88     angle.sin = min(1,max(angle.sin,-1));
89
90     double a_cos = acos(angle.cos);
91     double a_sin = asin(angle.sin);
92
93     if( angle.sin < 0){
94         a_cos = 2*pi - a_cos;
95         if( angle.cos > 0){
96             a_sin = 2*pi + a_sin;
97         }
98     }
99     if( angle.cos < 0){
100         a_sin = pi - a_sin;
101     }
102
103     double a = (a_sin + a_cos)/2;
104     if( debug){
105         double convergence = calculate_convergence(a, a_cos, true);
106         printf("Convergence error in angle calculation (%4g.pi rad): %g\n", a
107 /pi, convergence);
108     }
109     return a;
110 }

```

```

108
109 struct tangle calculate_theta2(double deltaV, double deltaSfa, double
    cos_theta1){
110     struct tangle theta2;
111     theta2.cos = 2*deltaV / deltaSfa - cos_theta1;
112     if( check_error( fabs(theta2.cos) <= 1., "## Failed |cos(theta2)| <= 1.\n
    ")){
113         theta2.sin = sqrt(1 - theta2.cos * theta2.cos);
114     } else{
115         theta2.sin = 0;
116     }
117     return theta2;
118 }
119
120 struct tangle calculate_phi2_deltaE_zero(double deltaN, double sin_theta1,
    double cos_phi1, double sin_phi1, double sin_theta2){
121     struct tangle phi2;
122     if( fabs(sin_theta2)<epsilon && fabs(sin_theta1)<epsilon){
123         phi2.sin = -sin_phi1;
124     } else{
125         if( check_error( fabs(sin_theta2) > epsilon, "## Failed sin(theta2)
    !=0.\n")){
126             phi2.sin = - sin_theta1 / sin_theta2 * sin_phi1;
127         } else{
128             phi2.sin = -sin_phi1;
129         }
130     }
131     if( check_error( fabs(phi2.sin) <= 1, "## Failed |sin(phi2)| <= 1.\n")){
132         phi2.cos = sqrt(1 - phi2.sin*phi2.sin);
133         if( cos_phi1 < 0){
134             phi2.cos = -phi2.cos;
135         }
136     } else{
137         phi2.cos = 0;
138     }
139     return phi2;
140 }
141
142 struct tangle calculate_phi2_deltaN_zero(double deltaE, double sin_theta1,
    double cos_phi1, double sin_phi1, double sin_theta2){
143     struct tangle phi2;
144     if( fabs(sin_theta2)<epsilon && fabs(sin_theta1)<epsilon){
145         phi2.cos = -cos_phi1;
146     } else{
147         check_error( fabs(sin_theta2) > epsilon, "## Failed sin(theta2) !=
    0.\n");
148         phi2.cos = - sin_theta1 / sin_theta2 * cos_phi1;
149     }
150     phi2.sin = sqrt(1 - phi2.cos*phi2.cos);
151     if( sin_phi1 > 0){
152         phi2.sin = -phi2.sin;

```

```

153     }
154     return phi2;
155 }
156
157 struct tangle calculate_phi2(double deltaE, double deltaN, double sin_theta1,
158     double cos_phi1, double sin_phi1, double sin_theta2){
159     struct tangle phi2;
160
161     if( fabs(sin_theta2) < epsilon){
162         phi2.cos = cos_phi1;
163         phi2.sin = sin_phi1;
164     } else if( fabs(deltaE) < epsilon && fabs(deltaN) < epsilon){
165         phi2.cos = -cos_phi1;
166         phi2.sin = -sin_phi1;
167     } else if( fabs(deltaE) < epsilon){
168         phi2 = calculate_phi2_deltaE_zero(deltaN, sin_theta1, cos_phi1,
169         sin_phi1, sin_theta2);
170     } else if( fabs(deltaN) < epsilon){
171         phi2 = calculate_phi2_deltaN_zero(deltaE, sin_theta1, cos_phi1,
172         sin_phi1, sin_theta2);
173     } else{
174         double deltaEpsilon = deltaN * sin_phi1 - deltaE * cos_phi1;
175         double deltaEpsilon_sin_theta1 = deltaEpsilon * sin_theta1;
176         double deltaH2 = deltaE*deltaE + deltaN*deltaN;
177         double deltaBeta2 = deltaH2 * sin_theta2*sin_theta2 -
178         deltaEpsilon_sin_theta1*deltaEpsilon_sin_theta1;
179
180         check_error( deltaBeta2 >= 0, "## Failed deltaBeta2 >= 0.\n");
181         deltaBeta2 = max(0, deltaBeta2);
182         double deltaBeta = sqrt(deltaBeta2);
183
184         double deltaH2_sin_theta2 = deltaH2 * sin_theta2;
185         if( !check_error( fabs(deltaH2_sin_theta2) > epsilon, "## Failed
186         deltaH2_sin_theta2 != 0.\n")){
187             deltaH2_sin_theta2 = deltaH2*0.001;
188         }
189
190         phi2.sin = (-deltaN * deltaEpsilon_sin_theta1 + deltaE*deltaBeta) /
191         deltaH2_sin_theta2;
192         phi2.cos = ( deltaE * deltaEpsilon_sin_theta1 + deltaN*deltaBeta) /
193         deltaH2_sin_theta2;
194     }
195     return phi2;
196 }
197
198 double calculate_deltaSfa(double deltaE, double deltaN, double deltaV, double
199     cos_theta1, double sin_theta1, double cos_phi1, double sin_phi1, double
200     cos_theta2, double sin_theta2, double cos_phi2, double sin_phi2){
201     double aE = sin_theta1 * sin_phi1 + sin_theta2 * sin_phi2;
202     double aN = sin_theta1 * cos_phi1 + sin_theta2 * cos_phi2;
203     double aV = cos_theta1 + cos_theta2;

```

```

195     return 2 * sqrt( (deltaE*deltaE + deltaN*deltaN + deltaV*deltaV) / (aE*aE
196     + aN*aN + aV*aV) );
197 }
198 double calculate_deltaSfa_aproximate(double deltaE, double deltaN, double
199     deltaV, double cos_theta1, double sin_theta1, double cos_phi1, double
200     sin_phi1, double deltaSfa){
201     struct tangle theta2 = calculate_theta2(deltaV, deltaSfa, cos_theta1);
202     struct tangle phi2 = calculate_phi2(deltaE, deltaN, sin_theta1, cos_phi1,
203     sin_phi1, theta2.sin);
204     return calculate_deltaSfa(deltaE, deltaN, deltaV, cos_theta1, sin_theta1,
205     cos_phi1, sin_phi1, theta2.cos, theta2.sin, phi2.cos, phi2.sin);
206 }
207
208 double calculate_deltaSfa_error(double deltaE, double deltaN, double deltaV,
209     double cos_theta1, double sin_theta1, double cos_phi1, double sin_phi1,
210     double deltaSfa){
211     double deltaSfa_calc = calculate_deltaSfa_aproximate( deltaE, deltaN,
212     deltaV, cos_theta1, sin_theta1, cos_phi1, sin_phi1, deltaSfa);
213     return deltaSfa_calc - deltaSfa;
214 }
215
216 double dE, dN, dV, cos_theta1, sin_theta1, cos_phi1, sin_phi1;
217 void define_well_path_data(double deltaE, double deltaN, double deltaV,
218     double theta1, double phi1){
219     dE = deltaE;
220     dN = deltaN;
221     dV = deltaV;
222     dE = deltaE;
223     cos_theta1 = cos(theta1);
224     sin_theta1 = sin(theta1);
225     cos_phi1 = cos(phi1);
226     sin_phi1 = sin(phi1);
227 }
228 double calculate_defined_deltaSfa_error(double deltaSfa){
229     return calculate_deltaSfa_error(dE, dN, dV, cos_theta1, sin_theta1,
230     cos_phi1, sin_phi1, deltaSfa);
231 }
232
233 void test_MCM_formulas(char *message, double deltaS, double theta1, double
234     phi1, double theta2, double phi2, double true_alfa, double true_deltaE,
235     double true_deltaN, double true_deltaV, bool report_alfa_dEdNdV, bool
236     relative_convergence, double convergence_limit){
237
238     printf("\n%s\n", message);
239
240     double a = alfa(theta1, phi1, theta2, phi2);
241     double dE = deltaE(deltaS, theta1, phi1, theta2, phi2);
242     double dN = deltaN(deltaS, theta1, phi1, theta2, phi2);
243     double dV = deltaV(deltaS, theta1, phi1, theta2, phi2);

```

```

233     if( report_alfa_dEdNdV){
234         print_error("  Alfa",true_alfa,a, convergence_limit,
relative_convergence);
235         print_error("  Delta E", true_deltaE,dE, convergence_limit,
relative_convergence);
236         print_error("  Delta N", true_deltaN,dN, convergence_limit,
relative_convergence);
237         print_error("  Delta V", true_deltaV,dV, convergence_limit,
relative_convergence);
238     } else{
239         printf("  Calculated displacement: dE=%g dN=%g dV=%g\n", dE, dN, dV);
240         printf("  Calculated alfa=%g\n",a);
241         printf("  Calculated f(alfa)=%g\n",f_alfa(a));
242     }
243
244     double deltaSfa = deltaS * f_alfa(a);
245     struct tangle theta2_ = calculate_theta2(dV, deltaSfa, cos(theta1));
246     print_error("  theta2", theta2, calculate_rad(theta2_, false),
convergence_limit, relative_convergence);
247
248     struct tangle phi2_ = calculate_phi2(dE, dN, sin(theta1), cos(phi1), sin(
phi1), sin(theta2));
249     print_error("  phi2", phi2, calculate_rad(phi2_, false),
convergence_limit, relative_convergence);
250
251     double deltaSfa_calc = calculate_deltaSfa(dE, dN, dV, cos(theta1), sin(
theta1), cos(phi1), sin(phi1), cos(theta2), sin(theta2), cos(phi2), sin(
phi2));
252     double dS = deltaSfa_calc / f_alfa(a);
253     print_error("  Delta S", deltaS, dS, convergence_limit,
relative_convergence);
254
255     printf("Calculate theta2, phi2 and dS from dE, dN, dV, theta1 and phi1.\n
");
256     define_well_path_data( dE, dN, dV, theta1, phi1);
257     double deltaSfa_min = sqrt(dE*dE + dN*dN + dV*dV);
258     double deltaSfa_max = deltaSfa_min * f_alfa(0.95*pi);
259     if( dV > 0){
260         deltaSfa_min = max(deltaSfa_min, 2*dV/(cos_theta1+1) );
261     } else if( dV < 0){
262         deltaSfa_min = max(deltaSfa_min, 2*dV/(cos_theta1-1) );
263     }
264
265     int estimated_iterations = estimate_bisection_iterations(deltaSfa_min,
deltaSfa_max, -9999, convergence_limit, relative_convergence);
266     printf("Estimated number of iterations: %i\n", estimated_iterations);
267     deltaSfa_calc = find_root_bisection_debug(
calculate_defined_deltaSfa_error, deltaSfa_min, deltaSfa_max,
convergence_limit, relative_convergence, 100, true, deltaSfa);
268
269     print_error("  Delta S x f(alfa)", deltaSfa, deltaSfa_calc,

```

```

convergence_limit, relative_convergence);
270  theta2_ = calculate_theta2(dV, deltaSfa_calc, cos(theta1));
271  print_error("  theta2", theta2, calculate_rad(theta2_, false),
convergence_limit, relative_convergence);
272  phi2_ = calculate_phi2(dE, dN, sin(theta1), cos(phi1), sin(phi1), theta2_
.sin);
273  print_error("  phi2", phi2, calculate_rad(phi2_, false),
convergence_limit, relative_convergence);
274  a = alfa(theta1, phi1, calculate_rad(theta2_, false), calculate_rad(phi2_
, false));
275  dS = deltaSfa_calc / f_alfa(a);
276  print_error("  Delta S", deltaS, dS, convergence_limit,
relative_convergence);
277 }
278
279 void tests_minimum_curvature(){
280     double theta1, phi1, theta2, phi2;
281     double a;
282     double dS, dE, dN, dV;
283     struct tangle theta2_, phi2_;
284     double theta2_calc, phi2_calc;
285     double dSfa, dS_calc;
286     char message[100];
287
288     bool relative_convergence = false;
289     bool convergence_limit = 0.001;
290
291     printf("\n#### Minimum Curvatura Method Tests ####\n");
292
293     printf("\nAngle calculation\n");
294     for(int i=0; i<=10; i++){
295         a = 0.2*i*pi;
296         theta2_.cos = cos(a);
297         theta2_.sin = sin(a);
298         theta2_.rad = calculate_rad(theta2_, true);
299         print_error("  Angle calculation",a,theta2_.rad, 0.001, false);
300     }
301
302     dS=10;
303     theta1=0;    phi1=0.88*pi;
304     theta2=0;    phi2=0.88*pi;
305     a=0.;
306     dE=0., dN=0., dV=dS;
307     test_MCM_formulas("Vertical well", dS, theta1, phi1, theta2, phi2, a, dE,
dN, dV, true, relative_convergence, convergence_limit);
308
309     dS=10;
310     theta1=pi/4;    phi1=pi/6;
311     theta2=pi/4;    phi2=pi/6;
312     a=0.;
313     dE=dS*sin(pi/4)*sin(pi/6);

```



```

314     dN=dS*sin(pi/4)*cos(pi/6);
315     dV=dS*cos(pi/4);
316     test_MCM_formulas("Slant straight well", dS, theta1, phi1, theta2, phi2,
a, dE, dN, dV, true, relative_convergence, convergence_limit);
317
318     dS=10*pi/2;
319     theta1=pi/2;      phi1=3*pi/2;
320     theta2=pi/2;      phi2=0.;
321     a=pi/2;
322     dE=-10;      dN=10;      dV=0.;
323     test_MCM_formulas("1/4 circle horizontal well", dS, theta1, phi1, theta2,
phi2, a, dE, dN, dV, true, relative_convergence, convergence_limit);
324
325     dS=10*pi/2;
326     theta1=pi/2;      phi1=pi/4;
327     theta2=pi/2;      phi2=7*pi/4.;
328     a=pi/2;
329     dE=0.;      dN=10*sqrt(2);      dV=0.;
330     test_MCM_formulas("1/4 circle deltaE=0 horizontal well", dS, theta1, phi1
, theta2, phi2, a, dE, dN, dV, true, relative_convergence,
convergence_limit);
331
332     dS=10*pi/2;
333     theta1=0;          phi1=0.1871*pi;
334     theta2=pi/2;      phi2=0.;
335     a=pi/2;
336     dE=0.;      dN=10.;      dV=10.;
337     test_MCM_formulas("1/4 circle aligned north vertical to horizontal well"
, dS, theta1, phi1, theta2, phi2, a, dE, dN, dV, true,
relative_convergence, convergence_limit);
338
339     dS=10*pi/2;
340     theta1=pi/6;          phi1=0.;
341     theta2=theta1+pi/2;  phi2=0.;
342     a=pi/2;
343     dE=0.;      dN=10.*(cos(pi/6)+sin(pi/6));      dV=10.*(cos(pi/6)-sin(pi/6));
344     test_MCM_formulas("1/4 circle aligned north well 'going up'", dS, theta1
, phi1, theta2, phi2, a, dE, dN, dV, true, relative_convergence,
convergence_limit);
345
346     dS=10*pi/2;
347     theta1=pi/4;          phi1=0.;
348     theta2=theta1+pi/2;  phi2=0.;
349     a=pi/2;
350     dE=0.;      dN=10.*(cos(theta1)+sin(theta1));      dV=10.*(cos(theta1)-sin(
theta1));
351     test_MCM_formulas("1/4 circle aligned north well 'going up' #2", dS,
theta1, phi1, theta2, phi2, a, dE, dN, dV, true, relative_convergence,
convergence_limit);
352
353     dS=10*pi/2;

```

```

354     theta1=pi/3;          phi1=0.;
355     theta2=theta1+pi/2;   phi2=0.;
356     a=pi/2;
357     dE=0.;      dN=10.*(cos(theta1)+sin(theta1));      dV=10.*(cos(theta1)-sin(
theta1));
358     test_MCM_formulas("1/4 circle aligned north well 'going up' #3", dS,
theta1, phi1, theta2, phi2, a, dE, dN, dV, true, relative_convergence,
convergence_limit);

359
360     dS=10*pi/2;
361     theta1=0;          phi1=0.1871*pi;
362     theta2=pi/2;      phi2=pi/6;
363     a=pi/2;
364     dE=10.*sin(pi/6);  dN=10.*cos(pi/6);      dV=10.;
365     test_MCM_formulas("1/4 circle 30o north vertical to horizontal well", dS,
theta1, phi1, theta2, phi2, a, dE, dN, dV, true, relative_convergence,
convergence_limit);

366
367     double array_dS[5]={1000., 500*pi/12, 1500., 1000*pi/12, 500.};
368     double array_theta[6]={0., 0., pi/12, pi/12, 0., 0.};
369     double array_phi[6]={0., 0., 0., 0., 0., 0.};
370     double array_a[5]={0., pi/12, 0, pi/12, 0.};
371     double array_dE[5]={0., 0., 0., 0., 0.};
372     double array_dN[5]={0., 500.*(1-cos(pi/12)), 1500.*sin(pi/12), 1000.*(1-
cos(pi/12)), 0.};
373     double array_dV[5]={1000., 500.*sin(pi/12), 1500.*cos(pi/12), 1000.*sin(
pi/12), 500.};
374     printf("\n'S-shaped' well\n");
375     for( int i=0; i<5; i++){
376         sprintf(message, "Section #%i",i+1);
377         test_MCM_formulas(message, array_dS[i], array_theta[i], array_phi[i],
array_theta[i+1], array_phi[i+1], array_a[i], array_dE[i], array_dN[i],
array_dV[i], true, relative_convergence, convergence_limit);
378     }

379
380     dS=10.;
381     theta1=pi/10;      phi1=pi/4;
382     theta2=pi/6;      phi2=7*pi/4;
383     a=0.;
384     dE=0.;      dN=0.;      dV=0.;

385
386     double c;
387     for( int i = 1; i<= 10; i++){
388         c = pow(10, -i);
389         sprintf(message, "'3D' well with convergence = %g", c);
390         test_MCM_formulas(message, dS, theta1, phi1, theta2, phi2, a, dE, dN,
dV, false, relative_convergence, c);
391     }
392 }
393
394 int main(){

```

```
395     tests_bissection();
396     tests_minimum_curvature();
397     return 0;
398 }
```